

平成24年（行ウ）第117号 発電所運転停止命令請求事件


原告 134名


被告 国

証拠説明書（16）

平成29年9月27日

大阪地方裁判所第2民事部合議2係 御中

被告訴訟代理人 竹野下 喜 彦  代

被告指定代理人 坂 本 康 博  代

櫻 野 一 穂  代

西 門 純 平  代

鈴 木 和 孝  代

飛 田 由 華  代








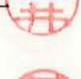







帆 足 智 典  代

鈴 木 優 香 子  代

望 月 一 輝  代

原 田 剛  代

信 藤 竜 治  代


玉	井	秀	幸	
松	村	理	紗	
高	橋	正	史	 代
小	林		勝	 代
小	川	哲	兵	 代
大	城	朝	久	 代
矢	野		諭	 代
仲	村	淳	一	 代
海	田	孝	明	 代
井	藤	志	暢	 代
大	野	佳	史	 代
種	田	浩	司	 代
豊	島	広	史	 代
谷	川	泰	淳	 代
羽	田	野	誉	 代
小	野	祐	二	 代
西	崎	崇	徳	 代
小	山	田	巧	 代

荒川一郎		代
中川淳		代
止野友博		代
木原昌二		代
山田創平		代
片野孝幸		代
村上玄		代
照井裕之		代
岡本肇		代
正岡秀章		代
皆川隆一		代
角谷愉貴		代
田尻知之		代
大塚恭弘		代
大浅田薰		代
岩田順一		代
鈴木健之		代
三井勝仁		代

佐藤秀幸 代

永井悟 代

佐藤雄一 代

藤原弘成 代

略語は準備書面の例による。

号 証	標 目 (作成者等)	原 ・ 写	作 成 年月日	立 証 趣 旨
乙第85号証	日本地震工学会論文集Vol. 17(2017)No.2 (抜粋) (宮腰研ほか)	写	H29.5.30	宮腰ほか(2015)(乙6 1)の表6に係る訂正内容
乙第86号証	Finite-Source Rupture Mo del Database	写	H29.8.28	1945年三河地震の断層長 さ(L e n g t h)が25k mとされていること(一部和 訳については、被告が付した ものである。)

J-STAGE

| My J-STAGEとは? | ログイン | 新規登録 | ショッピングカート | ヘルプ | Japanese > English

JAEЕ 日本地震工学会

日本地震工学会論文集

公益社団法人 日本地震工学会

ONLINE ISSN: 1884-6246

2017年08月03日現在 収録数: 652記事

記事 巻号頁 DOI 資料の中を検索します。 詳細検索

閲覧する

発行機関について

最新巻号 特集号

J-STAGEトップ > 資料トップ

目録

ジャーナル



最新巻号

特集号

目 巻号一覧

日本地震工学会論文集

- Vol.17(2017) No.3 p.3_1- No.2 p.2_1- No.1 p.1_1- Vol.16(2016) Vol.15(2015) Vol.14(2014) Vol.13(2013) Vol.12(2012) Vol.11(2011) Vol.10(2010) Vol.9(2009) Vol.8(2008) Vol.7(2007) Vol.6(2006) Vol.5(2005) Vol.4(2004) Vol.3(2003) Vol.2(2002) Vol.1(2001)

日本地震工学会論文集 Vol. 17(2017) No. 2

論文

2011年東北地方太平洋沖地震における強震動生成域からの長周期地震動 p.2_1-2_22 倉橋 奨, 入倉 孝次郎 公開日: 2017年05月30日 抄録 本文PDF[3553K]

1945年1月13日三河地震における全潰家屋敷と死者数の関係 p.2_23-2_37 -なぜ多くの犠牲者を生み出したのか?- 中井 春香, 武村 雅之 公開日: 2017年05月30日 抄録 本文PDF[3051K]

地盤不均質性に基づく地震動の空間変動の評価に関する検討 p.2_38-2_61 小林 源裕, 徳田 豊 公開日: 2017年05月30日 抄録 本文PDF[28683K]

兵庫県南部地震の建物被害に基づく地震後の木造建物の解体予測 p.2_62-2_73 市村 直登, 丸山 喜久 公開日: 2017年05月30日 抄録 本文PDF[1943K]

地震動強さの距離減衰式にみられるパラッキの空間相関が巨大地震の被害予測に与える影響 p.2_74-2_87 阿部 雄太, 山本 治貴, 中村 雅紀, 秋山 伸一, 井上 哲也 公開日: 2017年05月30日 抄録 本文PDF[2736K]

回転成分推定法の開発と小規模高密度微動アレイ記録への適用 p.2_88-2_107 羽田 浩二, 堀家 正則 公開日: 2017年05月30日 抄録 本文PDF[3718K]

破壊伝播特性の不確かさ影響を考慮した確率的津波ハザード評価手法 p.2_108-2_127 杉野 英治, 岩淵 洋子, 阿部 雄太 公開日: 2017年05月30日 抄録 本文PDF[4155K]

地震動の経時特性の特徴抽出と階層的クラスタ分析による分類 p.2_128-2_141 能島 暢呂, 久世 益充, 高島 拓也 公開日: 2017年05月30日 抄録 本文PDF[3337K]

東北地方太平洋沖地震による上水道管路被害における液状化の影響 p.2_142-2_157 若松 加寿江, 先名 重樹, 小澤 京子 公開日: 2017年05月30日 抄録 本文PDF[5135K]

地域の津波避難脆弱性を評価する指数の提案と検証 p.2_158-2_173

システムメンテナンス

システムメンテナンスのため、8月26日(土) 10:00~15:00の間、J-STAGEシステムが一時的に繋がりにくくなる場合があります。ご迷惑をおかけし大変申し訳ございません。

詳細

J-STAGEからのお知らせ

- 2017年07月31日 Yahoo!JAPANのOpenIDサービス終了に伴い、My J-STAGEでは、以下のOpenIDを利用したログイン機能を2017年8月26日をもって終了いたします。・Yahoo!JAPAN IDでログイン ・livedoor IDでログイン ※以後はMy J-STAGE IDにてログインしてください。
2017年07月31日 2017年8月下旬にJ-STAGE新画面インターフェース切替・利用規約改訂説明会を開催します(詳細はこちら)
2017年07月03日 2017年7月2日 8:06頃より一時サービスを停止しておりましたが2017年7月2日 19:12頃にサービスの再開を行いました。ご利用の皆様には大変御不便をおかけして申し訳ございませんでした。
2017年06月23日 2017年8月1日 J-STAGEセミナーを開催します(詳細はこちら)
2017年05月31日 2017年4月4日に開催したJ-STAGEセミナーの資料を掲載いたしました。(詳細はこちら)
2017年05月19日 2017年3月16日に開催したJ-STAGE Editor向けワークショップの資料を掲載いたしました。(詳細はこちら)
2016年05月18日 新しい画面インターフェース「J-STAGE評価版」(https://jstagebeta.jst.go.jp/)を公開しました。
2015年05月01日 J-STAGEを騙った「なりすましメール」にご注意ください

バックナンバー

ジャーナルツール

- お気に入り登録 新着記事アラート

後藤 洋三, 中須 正
 公開日: 2017年05月30日

抄録 本文PDF[1438K]

報告

複数回の地震による江合川堤防被害の相違と復旧対策の効果に関する研究 p.2_174-2_190
 脇中 康太, 安田 進, 石川 敬祐, 北村 友依
 公開日: 2017年05月30日

抄録 本文PDF[2968K]

ノート

2016年熊本地震で被災した県道338号横江大橋における地震動の推定 p.2_191-2_195
 秦 吉弥, 矢部 正明, 葛西 昭, 高橋 良和, 松崎 裕, 秋山 充良
 公開日: 2017年05月30日

抄録 本文PDF[2002K]

2016年熊本地震で被災した南阿蘇村の造成宅地における地震動の評価 p.2_196-2_200
 秦 吉弥, 釜井 俊孝, 王 功輝
 公開日: 2017年05月30日

抄録 本文PDF[1511K]

エラータ

強震動記録を用いた震源インバージョンに基づく国内の内陸地殻内地震の震源パラメータのスケールリング則の再検討【日本地震工学会論文集Vol.15 (2015) No.7 p.7_141-7_156】 p.2_201
 公開日: 2017年05月30日

抄録 本文PDF[646K]

14件の該当記事より1~14件を表示しています。
 1

[ページトップへ](#)

お知らせアラート

- [新着巻号RSS](#)
- [新着記事RSS](#)
- [書誌事項を全てダウンロード](#)
- [RIS](#)
- [BibTeX](#)

[\[ヘルプ\]](#)

この資料を共有



[メールで知らせる](#)

【訂正のお知らせ】

日本地震工学会論文集第15巻第7号 (Vol.15, No.7; 特集号) 掲載の「強震動記録を用いた震源インバージョンに基づく国内の内陸地殻内地震の震源パラメータのスケーリング則の再検討」(p.141-156) において、第3章の表6 (p.151) に記載されている一部の地震の断層幅(W)と震源断層面積(S)に誤りがありましたことをお詫びいたします。

下記のとおり訂正いたします。

■表6: 1948年福井地震(No. 4a)の断層幅(W)

断層幅(W): 【誤】20km 【正】10km

■表6: 1948年福井地震(No. 4a)の断層面積(S)

震源断層面積(S): 【誤】600km² 【正】300km²

■表6: 1945年三河地震 (No. 10a) の断層面積(S)

震源断層面積(S): 【誤】750km² 【正】375km²

【正】

No.	Name	Mech.	Reference	Mo (Nm)	Mw	L _{sub} (km)	W(km)	S(km ²)	D(m)	Heterogeneous slip data ^{*1}
1	1891年濃尾地震	SS	Murotani et al. ⁴⁾	1.8E+20	7.44	122	15	1795	3.3	×
2	1927年北丹後地震	SS	None	-	-	-	-	-	-	-
3	1943年鳥取地震	SS	None	-	-	-	-	-	-	-
4a	1948年福井地震	SS	菊池・他 ⁵⁶⁾	2.1E+19	6.81	30	10	300	2.3	△ ^{*2}
4b			Ichinose et al. ⁵⁷⁾	1.6E+19	6.74	(54)	18	972	0.3	○ ^{*3}
5	1930年北伊豆地震	SS	None	-	-	-	-	-	-	-
6	1995年兵庫県南部地震	SS	Sekiguchi et al. ¹¹⁾	3.3E+19	6.95	64	21	1303	0.8	○
7	1939年男鹿地震	SS	None	-	-	-	-	-	-	-
8	1978年伊豆大島地震	SS	Kikuchi and Sudo ⁵⁸⁾	1.9E+19 ^{*4}	6.79	35 ^{*4}	18 ^{*5}	630 ^{*6}	0.9 ^{*7}	△ ^{*2}
9	1961年北美濃地震	OB	Takeo and Mikami ⁵⁹⁾	5.8E+18 ^{*3}	6.44	16 ^{*3}	12 ^{*3}	192 ^{*3}	0.9 ^{*3}	○ ^{*3}
10a	1945年三河地震	RV	Kikuchi et al. ⁶⁰⁾	1.0E+19	6.60	25 ^{*3}	15 ^{*3}	375 ^{*3}	1.1	○ ^{*3}
10b			Takehi and Iwata ⁶¹⁾	1.0E+19	6.60	(12)	11	132	3.0	×

Finite-Source Rupture Model Database

HOME SRCMOD REFERENCES FILE FORMATS UPLOAD ABOUT username logit

Model/Event tag: s1945MIKAWA01KIKU Old event tag: s1945MIKAWAkiku

Event **1945年三河地震**

Author	Location	Date	Latitude (*N)	Longitude (*E)	Depth (km)	Flinn-Engdahl region
Kikuchi et al. (2003)	Mikawa (Japan)	Jan 12, 1945	34.7000	137.1000	10.00	Near south coast of eastern Honshu, Japan

Source parameters

長さ (km)

Magnitude (Mw)	Seismic moment (Nm)	Strike (°)	Dip (°)	Rake (°)	Length (km)	Width (km)	Htop (km)	Hypocenter (km)		Avg rise time (s)	Avg rupture speed (km/s)
								x	z		
6.67	1.13E+19	135.00	30.00	65.00	25.00	15.00	3.75	22.50	12.50	6.00	2.50

Inversion data

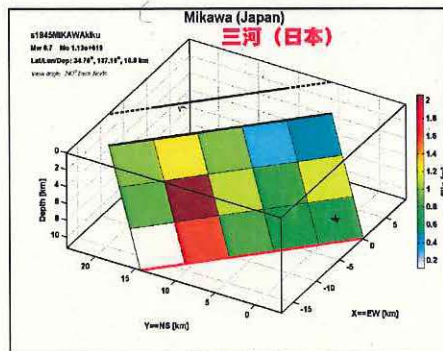
Data type	SGM	TELE	TRIL	LEVEL	GPS	INSAR	SURF	OTHER
NoS	5	0	0	0	0	0	0	0
PHlmax	200	0	0	0	0	0	0	0
Rmin	60.00	0.00	0.00	0.00	0.00	0.00	0.00	0.00

Inversion-related parameters

NSEG	Grid				Inversion time window			
	dx (km)	dz (km)	SVF	NW	Length (s)	Overlap (s)	Fmin (Hz)	Fmax (Hz)
1	5.00 km	5.00 km	triang	5	2.00	1.00	0.05	0.50

Note: value = 0 indicates non-applicable parameter, value = -99 indicates spatially variable, value = 999 indicates currently unknown although expected.

Downloads: IMG SLP FSP MAT



Data source: ?

If you see any incorrect entry or misrepresentation, please report it to us: [Feedback](#). Thanks!
©2012 Paul Martin Mai • Disclaimer/Acknowledgments: see [About](#) page.